

Исследование новой затменной переменной SY Цефея  
 В.И. Кардополов, М.И. Лавров, Г.К. Филипьев

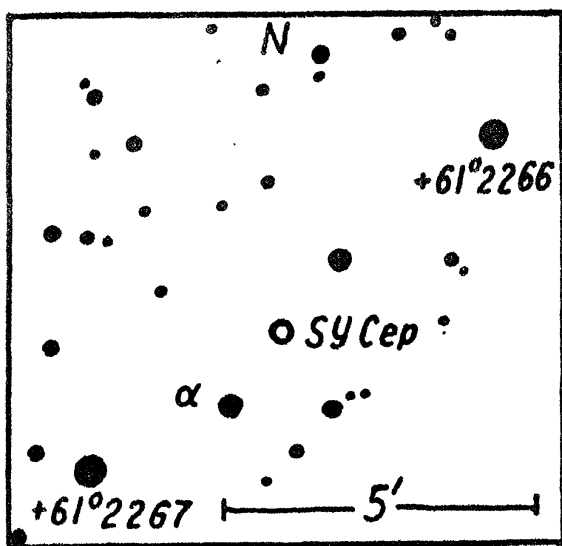
Представлены результаты UBV фотоэлектрической фотометрии SY Cep в 1979-80 г. Переменная оказалась затменной системой типа Алголя с  $P=8^d.34720$ . Данные наблюдений использованы для вычисления элементов фотометрической орбиты. Расчеты проведены на ЭВМ "Наири" К по казанским программам прямого метода.

Investigation of SY Cephei, the New Eclipsing Variable Star  
 by V.I. Kardopolov, M.I. Lavrov, G.K. Filipjev

The results of UBV photoelectric photometry of SY Cep in 1979-80 are presented. It is shown that the variable star is an Algol eclipsing system with  $P=8^d.34720$ . The observational data were used to calculate the orbital elements. The calculations were carried out with a "Nairy K" computer with the set of programs for the analysis of the light curves of eclipsing binary systems by the direct method (Lavrov, 1976, 1981). The derived orbital elements of SY Cep are presented in Table 2.

Введение. Переменность SY Cep была заподозрена Д'Эстером (1913), который в 1912 году дважды наблюдал ослабления ее блеска на 1<sup>m</sup>. По просьбе Д'Эстера Э. Никеринг просмотрел звезду на Гарвардских снимках и подтвердил ее переменность. Изменчивый блеск казался нерегулярным (Д'Эстер, 1913; Никеринг, 1913). В 1918) звезд переменного блеска в созвездии Цефея (SY Cep) обнаружил французский астроном Ж. Деландер, который назвал ее в честь своего учителя Д'Эстера.

Система была признана затменной в 1920) и в 1921) году. В 1922) году Деландер опубликовал фотометрические кривые блеска SY Cep и вычислил период ее затмений  $P=8^d.34720$ . В 1923) году Деландер опубликовал фотометрические кривые блеска SY Cep и вычислил период ее затмений  $P=8^d.34720$ .



Р и с. 1.

	V	B-V	U-B
$\alpha$	$10^m 52$	$+0^m.41$	$+0^m.22$
BD+61°2266	9.01	+0.07	-0.40

За 44 ночи разрозненных наблюдений 1979 года была обнаружена периодичность в ослаблениях блеска и сделан вывод о том, что переменная является вероятнее всего затменной двойной системой. Было найдено предварительное значение периода  $P = 8^d.3455$  (Кардополов, Филиппев, 1981). В начале сезона наблюдений 1980 года вывод о типе переменности был подтвержден Филиппевым и после уточнения им величины периода SY Cer на-

блюдалась преимущественно в минимумах. Объединенные результаты наблюдений 1979–80 годов, редуцированные к стандартной системе UVV, приведены в конце статьи. В сводку включены и 14 наблюдений (они отмечены звездочкой), сделанные по просьбе авторов А.Ф. Шаймиевой на 60 см рефлекторе, также установленном на горе Майданак. Они согласуются с нашими и потому включены в общую обработку. По наблюдениям вне затмений в предположении о постоянстве блеска получено (ошибки здесь и всюду далее среднеквадратические):

$$V_{\max} = 12^m.057, \quad B-V = +0^m.450, \quad U-B = +0^m.308 \quad (1)$$

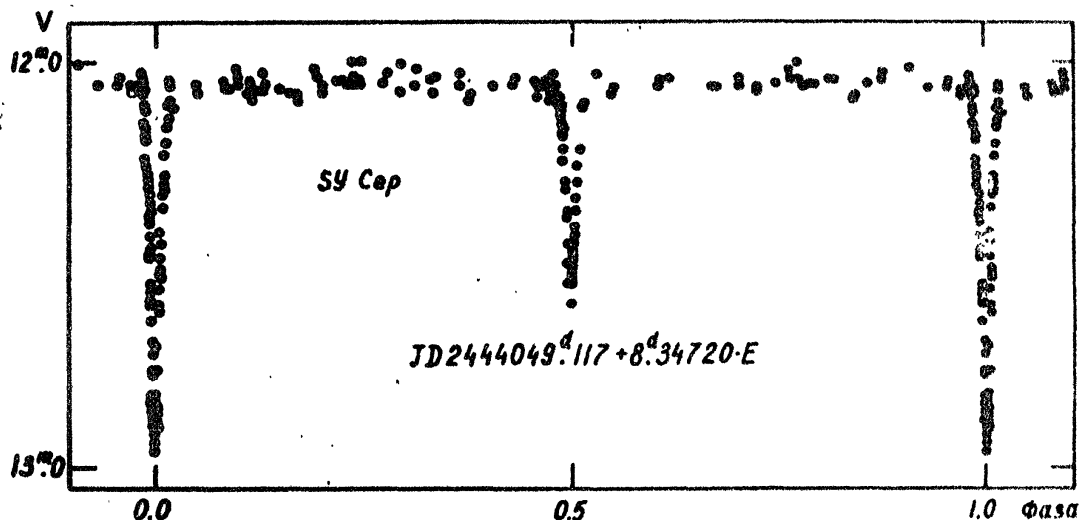
$\pm 21 \qquad \qquad \qquad \pm 24 \qquad \qquad \qquad \pm 37$

Погрешности этих результатов могут рассматриваться и как оценки точности наблюдений в соответствующих лучах —  $\sigma_V, \sigma_B, \sigma_U$ . Аналогичные оценки получаются и из сопоставления между собой звезд сравнения:  $\sigma_V = \pm 0^m.020, \sigma_B = \pm 0^m.022, \sigma_U = \pm 0^m.038$ . В сводке наблюдений двоеточием отмечены значения блеска и показателей цвета с погрешностями  $2\sigma$ . При погрешностях порядка  $3\sigma$  и больше у звездных величин оставлен только один знак после запятой.

Кривые блеска. Из обработки фотоэлектрических наблюдений впервые выведены световые элементы SY Cer:

$$\text{Min} = \text{JD}_{\text{hel}} 2444049.117 + 8^d.34720 \cdot E. \quad (2)$$

Как показывает рис. 2, переменная является разделенной системой типа Алголя без признаков эффектов фазы и эллипсоидальности компонентов. Средние кривые блеска SY Cer в лучах B и V приведены в таблице 1а, б. По средним точкам вне затмений получено:



Р и с. 2.

$$I_V = 1.0001 - 0.0022 \cos \theta - 0.0056 \cos 2\theta - 0.0028 \sin \theta - 0.0024 \sin 2\theta, \quad (3)$$

$\pm 18$        $\pm 28$        $\pm 26$        $\pm 27$        $\pm 28$

$$I_B = 1.0011 + 0.0016 \cos \theta + 0.0071 \cos 2\theta - 0.0052 \sin \theta + 0.0012 \sin 2\theta, \quad (4)$$

$\pm 30$        $\pm 46$        $\pm 42$        $\pm 45$        $\pm 48$

Величины всех коэффициентов перед тригонометрическими функциями малы и ненадежны. Только у V кривой знаки коэффициентов перед  $\cos \theta$  и  $\cos 2\theta$  соответствуют теоретически ожидаемым. Одинаковый знак коэффициента перед  $\sin \theta$  свидетельствует о небольшом различии блеска системы ( $\Delta m \lesssim 0.01$ ) до вторичного минимума и после него.

Элементы фотометрической орбиты. Вычисления элементов фотометрической орбиты по средним кривым блеска сделаны на ЭВМ "Наири" К по казанским программам прямого метода (Лавров, 1976, 1981). Сначала с приписанными по спектральным классам значениями коэффициентов потемнения дисков звезд к краю ( $X_V = 0.50$ ,  $X_B = 0.60$ ) были получены предельные значения ЭФО при  $i = 90^\circ$  (в главном минимуме прохождения):

K	$r_1$	$r_2$	$L_1$	Кривая
0.912	0.058	0.0528	0.627	V
0.935	0.056	0.0525	0.619	B

которые затем усреднялись методом дифференциальных поправок. Окончательные результаты (табл. 2) лишь незначительно отличаются от предельных. Попутно прямым методом были уточнены положения середин затмений: средние эпохи минимумов могут быть отнесены к моментам

$$T_{rn} = \text{JD}_{\text{hel}} 2444508.2129 \pm 0.0006,$$

$$T_{bn} = \text{JD}_{\text{hel}} 2444462.3017 \pm 0.0013.$$

Вторичный минимум несколько смещен относительно фазы 0.5:

$$\Phi_{BT} = 0^P.49984 \pm 0^P.00016,$$

но продолжительности главного и вторичного затмений практически одинаковы. Поэтому попытки оценить значения эксцентриситета орбиты и долготы периаэтра оказались безуспешными, можно только утверждать, что  $e \ll 0.01$ . При вычислении элементов фотометрической орбиты блеск системы вне затмений принимался постоянным. Ректификация  $V$  кривой с учетом разложения (3) и полученных элементов не оказывает влияния на конечные результаты в табл. 2.

Обсуждение результатов. В табл. 3 приведены гипотетические характеристики компонентов системы. Они получены в предположении о том, что оба компонента принадлежат главной последовательности диаграммы спектр—светимость. Спектральный класс спутника оценен по отношению средних поверхностных яркостей компонентов  $I_1/I_2 = 1.4 \pm 0.1$  со шкалой эффективных температур Поппера (1980), массы приписаны по зависимости масса—спектр (Свечников, Тайдакова, 1984), а радиусы вычислены по  $r_1, r_2$  и радиусу относительной орбиты системы  $A = 27 R_\odot$ , выведенному из третьего закона Кеплера. Известно, что в соответствии с этим законом удвоение масс приводит к возрастанию радиусов только на 26%.

Если оценка спектрального класса главной звезды верна, то оба компонента  $SU$  Сер попадают на диаграмме спектр—светимость в полосу нестабильности звезд типа  $\delta$  Sct (Фролов, 1983). Визуальные наблюдения как будто указывают на изменения блеска переменной в пределах  $11^m.9 - 12^m.2$  (Бейер, 1950). Но поскольку ошибки наших измерений, оцененные по кривым блеска вне затмений и из наблюдений звезд сравнения, практически одинаковы, то у нас нет пока оснований подозревать у компонентов пары переменность блеска типа  $\delta$  Sct.

Авторы признательны А.Ф. Шаймиевой за помощь в патрульных наблюдениях переменной.

Таблица 3е

Средняя  $V$  кривая блеска  $SU$  Сер

Фаза	$V$	$n$									
0.9837	12.073	4	0.0042	12.575	4	0.4220	12.050	4	0.5077	12.360	4
.9850	.120	2	.0063	.488	4	.4589	.082	6	.5044	.420	4
.9861	.130	2	.0076	.280	3	.4745	.174	5	.5070	.553	3
.9874	.193	3	.0089	.303	3	.4795	.060	6	.5086	.320	4
.9895	.253	3	.0100	.277	3	.4856	.110	5	.5091	.280	4
.9905	.317	3	.0122	.157	2	.4872	.137	5	.5115	.240	4
.9921	.362	4	.0137	.150	3	.4888	.250	3	.5129	.300	4
.9933	.460	4	.0150	.076	2	.4591	.160	4	.5141	.350	4
.9945	.570	4	.0505	.070	2	.4911	.230	4	.5150	.300	4
.9957	.347	5	.0910	.052	1	.4911	.230	4	.5150	.300	4
.9974	1.223	5	.1270	.070	2	.4911	.230	4	.5150	.300	4
.9980	.841	3	.1364	.084	2	.4911	.230	4	.5150	.300	4
.9997	.808	3	.2047	.070	2	.4911	.230	4	.5150	.300	4
0.0009	1.010	4	.2257	.077	2	.4911	.230	4	.5150	.300	4
.0013	.086	3	.2807	.070	2	.4911	.230	4	.5150	.300	4
.0022	.060	6	.3257	.070	2	.4911	.230	4	.5150	.300	4
.0032	.730	2	.3696	.053	2	.4911	.230	4	.5150	.300	4

Таблица 16

Средняя В кривая блеска *SU Ser*

Фаза	V	n	Фаза	V	n	Фаза	V	n	Фаза	V	n
0.9839	12. <sup>m</sup> 540	3	0.0032	13. <sup>m</sup> 205	2	0.3213	12. <sup>n</sup> 534	4	0.5036	12. <sup>m</sup> 925	2
.9850	.530	2	.0042	.075	4	.3704	.525	4	.5044	.860	2
.9860	.560	1	.0063	12.948	4	.4230	.503	3	.5052	.835	2
.9874	.670	3	.0078	.835	2	.4589	.497	6	.5068	.750	2
.9895	.660	3	.0089	.743	3	.4745	.506	5	.5089	.680	2
.9905	.753	3	.0106	.697	3	.4795	.516	5	.5115	.620	1
.9921	.835	4	.0122	.610	3	.4856	.570	3	.5143	.550	1
.9933	.890	4	.0137	.567	3	.4876	.540	2	.5431	.487	3
.9945	13.020	4	.0159	.517	3	.4885	.585	2	.6105	.492	4
.9955	.100	4	.0505	.470	2	.4894	.617	3	.6693	.490	2
.9974	.245	4	.0893	.498	4	.4912	.697	3	.7383	.506	7
.9986	.330	2	.1270	.522	13	.4925	.820	1	.7796	.522	6
.9992	.398	4	.1706	.510	2	.4954	.915	2	.8244	.512	4
.9998	.440	1	.2043	.505	6	.4991	13.000	1	.8743	.490	2
.0012	.352	4	.2381	.494	7	.5013	.000	1	.9419	.500	4
.0021	.297	3	.2930	.550	1	.5024	12.943	3	.9711	.480	3

Таблица 2

Элементы фотометрической орбиты *SU Ser*

Элементы	V	B	Среднее
K	0.913 ±17	0.947 ±46	0.93 ±3
$r_1$	0.0578 ±14	0.0558 ±30	0.057 ±2
$r_2$	0.0528 ±9	0.0528 ±12	0.053 ±1
$i$	89. <sup>o</sup> 9 ±4	89. <sup>o</sup> 8 ±3	89. <sup>o</sup> 9 ±3
$L_1$	0.626 ±10	0.614 ±21	0.619 (V); 0.622 (B)
$\Phi_{гл}$	0.00006 ±9	-0.00008 ±6	-0.00001 ±8
$\Phi_{вт}$	-0.00011 ±9	-0.00023 ±17	-0.00017 ±14

Таблица 3

Гипотетические характеристики компонентов *SU Ser*

Характеристика	Главная звезда	Спутник
Сп. класс	A3:(V)	[A7V]
$M/M_{\odot}$	2.0	1.8
$R/R_{\odot}$	1.5	1.4
$T_{\odot}$ (по Попперу)	8550°	~7750°
$M_b$	2. <sup>m</sup> 2	2. <sup>m</sup> 7

## Наблюдения

JD <sub>0</sub>	V	U-B	B-V	JD <sub>0</sub>	V	U-B	B-V	JD <sub>0</sub>	V	U-B	B-V
2444...				2444...				2444...			
050.450	12.08			149.217	12.40	+0.09	+0.42	462.286	12.55:		
057.394	12.33	+0.35	+0.47	.229	12.46	0.30:	0.36	.296	12.54		+0.46
.406	12.43		0.45	150.226	12.07	0.24	0.47	.322	12.49		0.45
058.420	12.10:	0.31:	0.44	.238	12.07	0.30	0.43	.345	12.42		0.42
059.394	12.06	0.29	0.43	151.251	12.0		0.54	.376	12.26		0.44
.402	12.06	0.30	0.43	157.237	12.06		0.48	.399	12.11:		0.51
097.337	12.06	0.26	0.48	.249	12.04:	0.30	0.45	.423	12.10		0.44
.347	12.06	0.24	0.50	159.226	12.02	0.28	0.46	464.357	12.05	+0.31	0.46
099.356	12.12:	0.31	0.41	.246	12.04	0.31	0.48	465.276	12.05		
.367	12.12:	0.35	0.42	160.228	12.06	0.30	0.48	466.264	12.06	0.30	0.44
100.325	12.08	0.31	0.46	.240	12.02:	0.28	0.54	.309	12.03		
.349	12.05	0.29	0.51	161.224	12.06	0.32:	0.43	.338	12.05		
102.325	12.10:	0.22	0.48	.237	12.04		0.44	.362	12.11		
.349	12.08	0.34	0.46	162.212	12.08	0.28	0.40	.378	12.19	0.27	0.46
103.385	12.51		0.49	.225	12.06		0.42	.423	12.48	0.15	0.48
.406	12.45		0.45	163.211	12.06		0.42	.435	12.57	0.25	0.49
104.350	12.04		0.47	.224	12.06		0.44	.443	12.64	0.16	0.51
.360	12.04		0.46	164.206	12.05		0.43	.446	12.76		
105.346	12.02:	0.25	0.49	.218	12.05	0.28	0.47	.452	12.72	0.21	0.50
.359	12.04	0.27	0.47	395.358	12.08	0.29	0.46	.459	12.77		
108.353	12.02		0.44	.369	12.07	0.35	0.41	.462	12.83		
.362	12.06		0.45	.407	12.10	0.31	0.45	.465	12.86		
109.365	12.05	0.3	0.43	.419	12.11	0.42	0.43	.467	12.88		
.412	12.05	0.32	0.47	.425	12.14	0.32	0.40:	.471	12.90		
110.330	12.08	0.27	0.44	.430	12.17	0.38	0.42	.474	12.94		
.340	12.04		0.5	.435	12.18	0.42	0.44	.477	12.92		
111.342	12.05	0.30	0.43	.441	12.19			.480	12.90		
.358	12.09	0.35	0.40	417.357	12.07	0.32	0.4	467.259	12.07		
114.308	12.04		0.46	.367	12.10	0.35	0.38	.294	12.04		
.322	12.04	0.32	0.46	.426	12.08		0.48	469.234	12.05		
115.306	12.06		0.42	.433	12.08		0.46	482.402	12.01:	0.34	0.49
.319	12.06	0.32	0.43	420.256	12.06		0.46	483.164	12.96	0.49	0.43
116.310	12.06	0.3	0.41	.288	12.05		0.45	.182	12.87	0.48	0.43
.322	12.08	0.36	0.39	.333	12.10:		0.46	.185	12.84	0.38	0.48
117.313	12.10:		0.40	.344	12.04		0.46	.189	12.88	0.34	0.36
.325	12.08		0.44	.358	12.04		0.44	.201	12.70	0.30	0.46
118.328	12.01:			.367	12.08		0.42	.205	12.60	0.36	0.52
.341	12.08	0.31	0.47	.372	12.06		0.43	.227	12.53	0.29	0.39
119.287	12.06		0.48	.379	12.03		0.49	.240	12.33	0.2	0.45
120.319	12.03		0.47	.389	12.08		0.46	.270	12.20	0.24	0.44
122.325	12.0		0.52	.407	12.06		0.46	.283	12.20	0.3	0.34
.336	12.04	0.33	0.5	.455	12.14		0.46	484.400	12.07	0.36	0.47
124.302	12.36	0.42	0.4	423.384	12.09:		0.44	.407	12.07	0.3	0.41
.316	12.28	0.36	0.44	.395	12.08		0.44	487.365	12.48		0.49
125.302	12.03	0.38	0.45:	441.271	12.06		0.38	.373	12.52		0.43
.316	12.06		0.44	.331	12.16		0.45	.378	12.43		0.46
126.294	12.05		0.41	.357	12.29	0.24	0.43	.386	12.41		0.42
.307	12.0		0.46	.371	12.37	0.31	0.47	.391	12.37		0.46
127.282	12.06		0.45	.378	12.47	0.36	0.43	.399	12.34		0.41:
.294	12.03		0.44	.386	12.55	0.20	0.43	.408	12.30	0.29	0.45
129.274	12.06	0.36	0.44	.393	12.60	0.31	0.47	.421	12.22		0.44
.285	12.04	0.32	0.42:	.402	12.64	0.38	0.48	508.150	12.35		0.52
130.259	12.06	0.38:	0.42	.410	12.69	0.30	0.50	.162	12.64		0.45
.281	12.07		0.42	.418	12.77	0.41	0.50	.171	12.63		0.44
132.327	12.00	0.33	0.40	.427	12.84	0.40	0.53	.173	12.60		0.50
.340	12.08	0.34	0.40	.447	12.92	0.38	0.54	.192	12.63		0.50
133.264	12.05	0.34	0.45	.451	12.86			.200	12.62		0.50
.275	12.07	0.34:	0.43	.454	12.87			.201	12.61		0.50
134.252	12.06	0.27	0.46	.457	12.88			.203	12.61		0.50
.264	12.03	0.32	0.44	443.440	12.36			.207	12.61		0.50
137.201	12.0		0.45	.462	12.97			.211	12.61		0.50
.215	12.04		0.46	450.440	12.41			.215	12.61		0.50
138.246	12.07		0.47	.465	12.98			.219	12.61		0.50
.269	12.07		0.45	.467	12.98			.223	12.61		0.50

JD <sub>⊙</sub>	V	U-B	B-V	JD <sub>⊙</sub>	V	U-B	B-V	JD <sub>⊙</sub>	V	U-B	B-V
2444...				2444...				2444...			
508 <sup>d</sup> .234 12 <sup>m</sup> .85			+0 <sup>m</sup> .48	508.344 12 <sup>m</sup> .10			+0 <sup>m</sup> .38	537 <sup>d</sup> .310 12 <sup>m</sup> .09			+0 <sup>m</sup> .48
.237*12.76			0.49	.351*12.06			0.47	.327 12.16			0.4
.246 12.56			0.46	516.408 12.08			0.42	.332 12.13			0.45
.249*12.62			0.48	.413 12.07			0.45	.338 12.18			0.43
.250 12.52			0.54	.420 12.04			0.50	.343 12.17			0.45
.261*12.52			0.49	.427 12.06			0.48	.349 12.22			0.43
.263 12.48			0.49	.430 12.07			0.47	.355 12.25			0.46
.268 12.42			0.47	.433 12.12			0.40	.360 12.30			0.43
.274*12.45			0.44	.437 12.12			0.42	.366 12.32			0.50
.283*12.33			0.50	.443 12.15			0.41	.370 12.30			
.291 12.30			0.38	.452 12.18			0.44	.382 12.39			
.298 12.32			0.36	.458 12.24			0.44	.387 12.45			0.52:
.302 12.28			0.44	.462 12.26			0.40	.392 12.37:			0.49
.305*12.23			0.46:	.469 12.31			0.36	.398 12.50:			0.4
.315 12.16			0.48	.476 12.28			0.45	.423 12.60:			
.318 12.11			0.44	.485 12.38			0.43	.427 12.55			
.325*12.11			0.47	520.366 12.06	+0 <sup>m</sup> .27		0.44	.449 12.53			0.39
.332 12.14			0.44	.376 12.06	0.32		0.43	.454 12.47			
.343*12.05			0.49	537.296 12.11			0.45				

## Литература

- Бейер, 1950. -- Вуер М., Erg AN 12, No 2, 25.  
 Брюн, 1937 -- Вил А., ВАН, 6, 91.  
 Д'Эстор, 1913 -- D'Estorge C.R., AN 194, 144.  
 Д'Эстор, 1915 -- D'Estorge C.R., AN 199, 296.  
 Кардонселов В.М., Филиппов Г.К. 1987. ВАН 1158.  
 Куваркина Б.В., Холмов И.Н., Буремон В.А., Куваркина Н.И., Куревкин В.М., Маднорья М.И., Перова Н.Н., Червова В.Н., Фролов М.С., 1969. Общий каталог переменных звезд, I, т. "Наука".  
 Лавров В.И., 1976. В Приложениях, 349.  
 Лавров В.И., 1987. "Методы анализа звездных переменных". М.: Наука, 1987. 120 с.